

## III-B20

## 薄板要素一杭ばね一地盤ばねモデルによるパイルド・ラフトの鉛直変形解析プログラムの開発

金沢大学工学部 正会員 松本樹典  
金沢大学大学院 学生員 山田博志

## 1. はじめに

パイルド・ラフトの変形をFEMで解析する場合、一般的には3次元解析が必要となり、解析には多大な労力と時間を要する。そのため、FEMにおいて、杭配置、杭寸法などを変えて計算を行い、最適なパイルド・ラフトの形状を決定するような設計計算を行うことは、非常に困難である。そこで、Hain et al (1978), Chow(1986), Griffiths et al (1991) の方法に習い、パイルド・ラフトの鉛直方向変形解析を簡略に行えるコンピュータプログラムを独自に開発した。また、開発したプログラムの妥当性を検証するため、FEMとの比較解析を実施した。

## 2. パイルド・ラフト基礎の変形解析方法

## 2.1 パイルド・ラフト基礎のモデル化

図2は、パイルド・ラフト基礎のモデル化を示している。ラフトは薄板要素、杭はばねの直列、地盤はラフト節点あるいは杭節点に連結されたばねで表現する。このモデル化においては、ラフト底面と地盤の間の摩擦は考慮せず、また杭頭とラフトの結合条件はヒンジ（モーメント0）としている。鉛直荷重は、ラフト節点に作用する集中荷重に置き換えている。

均一弾性地盤の場合、杭周面地盤ばね定数  $k^s$  は、次式で与えられる。

$$k^s = 2\pi G \Delta L / \ln(r_m / r_0), \quad r_m = 2.5l(1-\nu) \quad (1)$$

ここで、 $G$  は地盤のせん断弾性係数、 $\nu$  はポアソン比、 $r_0$  は杭半径、 $\Delta L$  は杭要素長である。

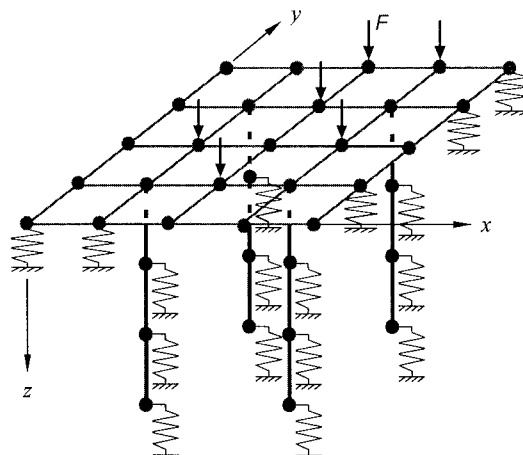


図1 パイルド・ラフト基礎のモデル化

また、杭先端地盤ばね定数  $k^b$  は、次式で与えられる。

$$k^b = 4Gr_0 / (1-\nu) \quad (2)$$

ラフト節点の地盤ばねは、節点が代表するラフト面積と等しい面積の円の半径を  $r_0$  として、式(3)を使って決定する。

地盤ばね相互の影響を考慮して、節点  $i$  の鉛直変位  $w_i$  は、次式で与えられる。

$$w_i = \frac{P_i}{k_i} + \sum d_{ij} P_j \quad (3)$$

ここで、 $P_i$  はばね  $i$  の力（地盤反力）、 $d_{ij}$  は影響係数であり、半無限弾性地盤内に鉛直集中荷重が作用したときのMindlin(1936)の解を利用して決定できる。

## 2.2 計算手法

変位ベクトル  $\mathbf{w} = \{w_1, w_2, \dots, w_n\}^T$  と地盤反力ベクトル  $\mathbf{P} = \{P_1, P_2, \dots, P_n\}^T$  の関係は、式(4)で与えられる。

$$\mathbf{w} = \mathbf{DP} \quad (4)$$

ここで、 $\mathbf{D}$  は  $d_{ij}$  を並べた影響係数マトリックスである。 $\mathbf{D}$  の逆マトリックスを  $\mathbf{C} = \mathbf{D}^{-1}$  とすると、式(4)は式(5)のように書き換えられる。

$$\mathbf{Cw} = \mathbf{P} \quad (5)$$

ラフトの変形は、外力ベクトルを  $\mathbf{F} = \{F_1, \dots, F_n\}^T$  として、式(6)で与えられる。

$$\mathbf{Rw} = \mathbf{F} - \mathbf{P} \quad (6)$$

ここで、 $\mathbf{R}$  はラフト要素の剛性マトリックスであり、薄板の曲げの有限要素定式化によって、決定できる。

杭の変形は、式(7)で与えられる。

$$\mathbf{Bw} = \mathbf{P} \quad (7)$$

ここで、 $\mathbf{B}$  は杭要素のばね定数  $b = AE/\Delta L$  を並べたマトリックスである。なお、 $A$  と  $E$  は杭の断面積とヤング率である。

式(5)、(6)、(7)を重ね合わせると、式(8)を得る。

$$(\mathbf{C} + \mathbf{R} + \mathbf{B})\mathbf{w} = \mathbf{K}\mathbf{w} = \mathbf{F} \quad (8)$$

ここで、 $\mathbf{K}$  は全体剛性マトリックスである。

既知外力  $\mathbf{F}$  について式(8)を解くことにより、変位  $\mathbf{w}$  が計算できる。計算された  $\mathbf{w}$  を式(5)に代入することにより、地盤内力  $\mathbf{P}$  を計算する。さらに、杭節点に作用する  $\mathbf{P}$  から杭軸力を計算する。

実際の計算においては、 $\mathbf{w}, \mathbf{F}, \mathbf{P}$  を増分で表して、計算を進めることにより、杭周面摩擦、杭先端抵抗、ラフト地盤反力の破壊条件を組み入れることができる。

### 3. 計算例

解析対象としたパイルド・ラフトは半径 5 m、厚さ 0.2 m の円ラフトの中心に長さ 10 m、直径 1 m の杭 1 本を配置したパイルキャップである。ラフトおよび杭はコンクリートを想定し、ヤング率  $E = 2.2 \times 10^7$  kPa、ボアソン比  $\nu = 0.2$  とした。地盤のヤング率は、コンクリートの 1/1000、ボアソン比は 0.3 とした。鉛直荷重は、ラフト上面に 100 kPa の等分布荷重を作用させた。

FEM 解析では、軸対称条件計算を実施し、地盤半径を 55 m、地盤高さを 30 m とし、中心（対称）軸の水平変位、地盤側面および底面の鉛直・水平変位を固定した。杭周面およびラフト底面にジョイント要素を配置した。ラフト底面のジョイント要素には、摩擦が発生しない条件とした。杭周面は破壊しない条件とした。

薄板要素—ばね要素モデルによる計算では、ラフトを図 2 に示すような格子配列として、計算を行った。

図 3 は、ラフトのみ（杭無し）の場合について、A-A 断面におけるラフト鉛直変位分布の両計算結果の比較である。

図 4 と図 5 は、パイルキャップ（杭有り）の解析結果である。図 4 は、A-A 断面におけるラフト鉛直変位分布である。図 5 は、杭軸力および周面摩擦分布である。両解析法による計算結果は、ほぼ対応していると思われる。

### 4. おわりに

今回の解析対象であるパイルキャップでは、元々杭に曲げが生じない幾何学的条件となっている。しかし、一般的のパイルド・ラフト基礎では、鉛直荷重のみが作用する場合でも、杭に曲げが生じ、またラフト底面には摩擦が生じる。今後、杭の曲げ、ラフト底面の摩擦、水平外力を考慮できるように、解析プログラムを拡張していく予定である。

### 参考文献

- 1) Chow, Y.K. (1986):Analysis of vertically-loaded pile groupes, Int. J. Num. & Anal. Methods in Geomechanics, 10(1), 59-72.
- 2) Griffiths et al (1991):Piled raft foundation analysis by finite elements, Proc. 7th Int. Conf. on Computer Methods and Advances in Geomechanics, 2, 1153-1157.
- 3) Hain, S.J. and Lee, I.K. (1978):The analysis of flexible raft-pile systems, Géotechnique, 28(1), 65-83.
- 4) Mindlin, R.D. (1936):Force at a point interior of a semi-infinite solid, Physics, 7, 195-202

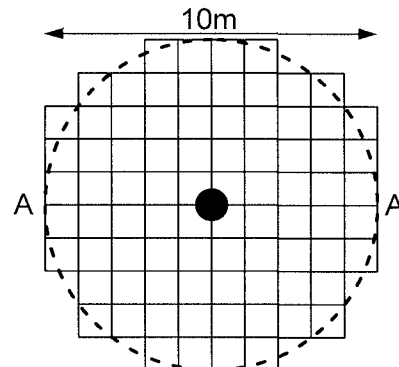


図 2 解析対象としたパイルキャップの平面図

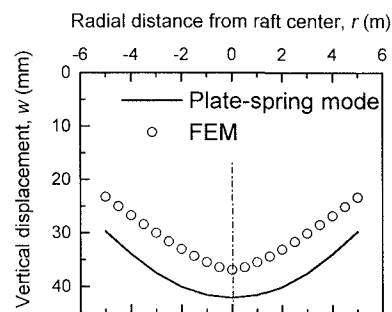


図 3 ラフト鉛直変位の計算結果の比較（ラフトのみ）

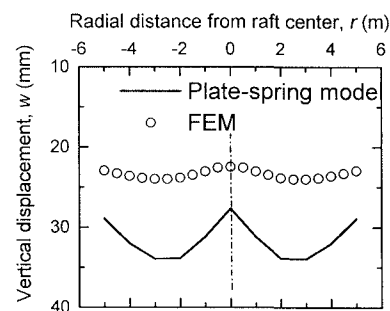


図 4 ラフト鉛直変位の計算結果の比較（パイルキャップ）

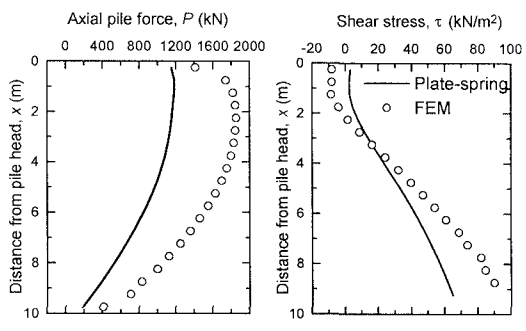


図 5 杭軸力と周面摩擦分布の計算結果の比較